

A E 測定による引張型アンカーの破壊メカニズムの検討

山口大学大学院
山口大学工学部
(株)エスイー

学生会員○佐伯英敬
正会員 石田 穀
非会員 田中周次

山口大学大学院
(株)エスイー

学生会員 牧瀬 弘太
非会員 市川真佐史

1. はじめに

我が国は国土の大半が急峻な地形であり、かつ地震などの自然災害も多いことから、国民生活の安全を保証する防災工事は社会的要請である。このような要請に対し、アンカーエクスパンション法は法面の崩壊防止や構造物の基礎補強に極めて有効であるとともに、工期の短縮・工事費の削減等の経済性に優れた工法である。しかし、その需要が増加する反面、アンカーエクスパンション法はその作用機構が十分解明されていない。本研究では、室内実験を行い、摩擦引張型アンカー(SEEEF 70型)の破壊メカニズムをAE(Acoustic Emission)測定により検討した。

2. 実験方法

実験に使用したモルタル供試体は、図-1に示すような内側に114mm、深さ1630mmの円孔を有する外径300mm、高さ2000mmの円柱体である。この円孔内に先端に長さ1000mmの定着体を固定した約1200mmのアンカーケーブルを挿入し、セメントミルクを孔口から100mmの所まで充填した。

実験はモルタル供試体を水平に置き、供試体前方にロードセルと油圧ジャッキを、その先端にダイヤルゲージを設置した。載荷方法は、モルタル供試体に埋設された定着体から伸びるケーブルを油圧ジャッキで引っ張ることにより荷重を加えた。載荷は、1分間に20kN載荷し、5分間そのまま維持した後、1分間で20kN荷重を増大させ、5分間維持するという載荷パターンを繰り返し、破壊するまで荷重を増大させていった。測定はモルタル供試体表面に18個のAEセンサーを設置し、海陸電波AE測定器とOYOAE測定器の2つの特徴の違うシステムを使用した。それぞれのシステムの特徴は、海陸システムは1秒間に132個(5秒間に660個)に対し、OYOシステムは5秒間に1個AEイベントを収録できるシステムである。同時に、ひずみゲージを定着体表面とモルタル供試体表面にそれぞれ6枚ずつ貼り付け、ひずみ測定も行った。

3. 結果と考察

3-1 引張荷重及びAE発生頻度の経時変化

図-2に引張荷重とAE発生頻度の経時変化を示す。破壊は経過時間79分45秒に起り、荷重時間曲線が示すように、破壊時に320kNであった荷重が急激に低下している。AE発生頻度は破壊時の直前79分10秒付近にて、発生のピークを示している。つまり、まず急速にAEが発生し、その後破壊とともに圧力が低下した。

3-2 ひずみ測定の結果

図-3にひずみゲージの設置位置を示す。図のようにゲージは、アンカーベースに6枚、モルタル供試体表面に6枚貼り付けた。図-4に定着体に貼り付けたひずみゲージの経時変化を示す。定着体上部に貼り付けたゲージNo.①と②が時間に比例して、直線的に大きなひずみを生じている。それに比べて、ゲージNo.③と④は実験開始から終了時まで、ほとんどひずみを生じていない。特にゲージNo.⑤と⑥にいたつ

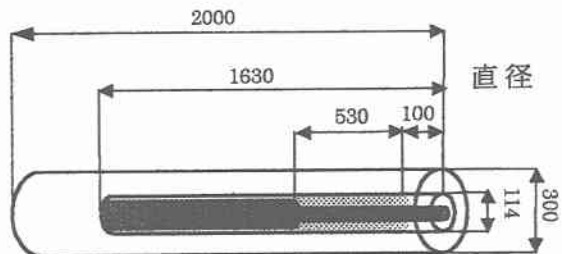


図-1 供試体

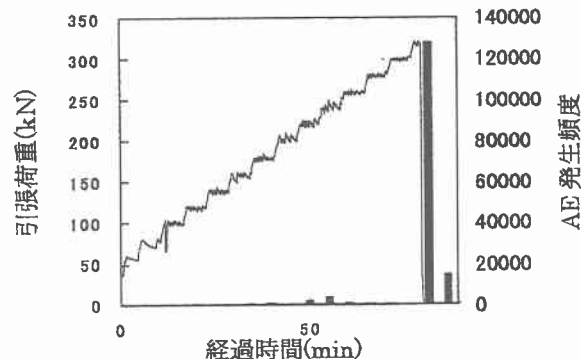


図-2 引張荷重とAE発生頻度の経時変化

ては、全くひずみを生じていない。これらのことより、定着体上端に集中的に荷重がかかり、中間と下端部ではほとんど荷重はからなかつたと推測できる。

3-3 AE震源の空間分布図

AE震源は、供試体のP波速度の異方性を考慮し、各センサーへのP波初動の到達時間の差から求めた。考慮の対象としたAE震源は、P波初動の読み取れたセンサー数（データ数）5以上、走時残差の標準偏差 $10\mu s$ 以下などの条件を満たした震源のみであり、震源決定の誤差は数mm程度、最大でも30mm程度である。本実験で波形が測定されたAEイベント数は、海陸システムは818個、OYOシステムは190個であった。このうち上述の条件を満たした計72個のAE震源を図-5の空間分布図を示す。上図がXY平面図、下図がXZ平面図である。●印は海陸システムで測定されたAE震源であり、△印はOYOシステムで測定されたAE震源である。図中の長方形はアンカ一定着部を示す。上図に示すように、AE震源は定着体上端付近に多く分布し、下部付近にも少し分布している。このことは、ひずみ測定の結果とも合理的に対応し、引張型アンカーの破壊は定着体上端付近から発生したと推測される。

3-4 AE震源の時空間分布図

震源のY方向への移動を検討するため、図-6に横軸に経過時間をとり、縦軸にAE震源のY座標をとったAE震源の時空分布を示す。破壊時の79分45秒付近にAEの発生が集中している。また、海陸システムのAEイベントは定着体上端付近に集中していることが分かる。これらのことより、破壊は定着体上端で瞬間に起きたものと思われる。しかし、今回の実験は工場で行われたため、実際の現場とは違い、供試体の側面（周面）が地盤に拘束されていない。今回の実験では瞬間に起きたと思われるが、現場における破壊の様子は異なる可能性がある。したがって、将来は現場実験を行って、供試体の側面が拘束された状態での破壊の様子を調べる必要がある。

4. おわりに

本研究の結果、AE測定ではAE震源は定着体上端付近に分布し、破壊時に多く発生した。ひずみ測定では定着体上端付近に大きくひずみが発生し、中間部・下部付近ではほとんどひずみが生じないことが分かった。以上のことより、今回の実験では、荷重は定着体上端付近にかかり、破壊は同位置より瞬間に起きたと思われる。今後の課題として、モルタル供試体の設置が直線状でなかつたために、曲げ荷重が作用した可能性があり、モルタルにおけるひずみ測定には改善の必要があると思われる。また、AE測定は2つの特徴の違うシステムを使用したために、AE測定結果に影響を与えた可能性がある。したがって、1つのシステムによる測定が必要と思われる、そのためには供試体のサイズを小さくするなど、実験条件を改善することが必要と思われる。

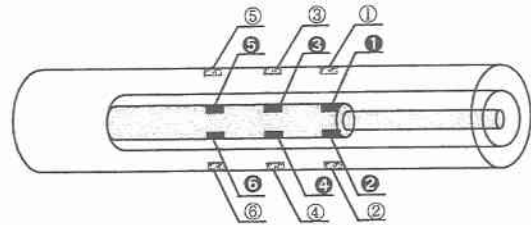


図-3 ひずみゲージ配置図

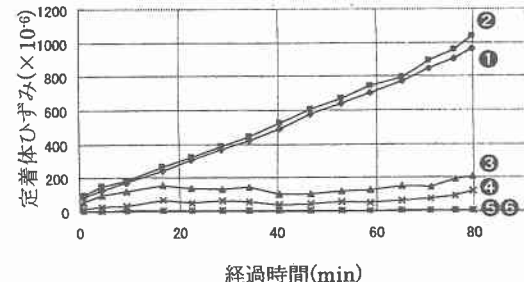


図-4 定着体ひずみの経時変化

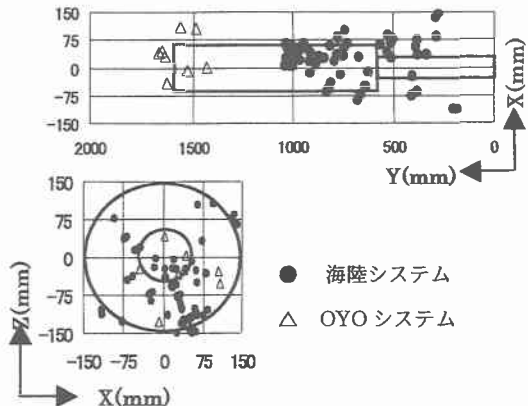


図-5 AE震源の空間分布図

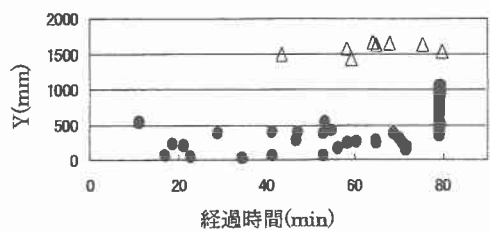


図-6 AE震源の時空間分布図